

用最佳椭圆线重建多圆图像

王一多¹ 张彦²

(1. 北京化工大学理学院, 北京 100029; 2. 燕山大学理学院, 河北 秦皇岛 066004)

摘要: 文中通过对多圆图像的 Radon 变换曲线的分析, 建立了用少量的投影数据 (理论上只用两个角度的投影数据) 重建多圆图像的最佳椭圆线方法, 并针对自定义的一个多圆图像给出了重建结果。

关键词: Radon 变换; 多圆图像; 最佳椭圆线

中图分类号: O320.5

随着计算机层析成像技术 (CT) 在工业无损探伤领域中的广泛应用, 新的问题也不断现出。如在工业探伤中, 往往需要对一个批次的大量产品做图像重建, 而这些重建图像是有很大的相关性的。有时这些待重建的实物的截面就是由标准的几何体 (或几何体的组合) 构成^[1], 如检测钢筋混凝土的浇注是否合格时, 重建出来的截面图像就是由一些圆圈组成, 对这些比较规则的截面图像, 希望能用比较少的投影数据来重建。本文对这类由圆构成的“多圆图像”的少量投影数据重建做了初步的研究。

1 卷积反投影算法与 Radon 变换及逆变换

卷积反投影算法是 CT 图像重建的经典算法之一, 原理是利用 Radon 变换及逆变换进行图像重建。设直线 L 的方程为 $p = x \cos \phi + y \sin \phi$, 其中 p 为直线 L 与原点的距离, ϕ 为 L 的法线与 x 轴正半轴的夹角, 如图 1 所示。则 (p, ϕ) 与 Oxy 平面上的直线 L 一一对应^[2]。记 $f(x, y)$ 为待重建图像函数。

$$f(p, \phi) = \int_L f(x, y) ds \quad (1)$$

称 (1) 式中 $f(p, \phi)$ 为 $f(x, y)$ 的 Radon 变换, 相当于一个算子, 记为 R 。粗略讲, 算子 R 将 (x, y) 空间上的函数 $f(x, y)$ 和 (p, ϕ) 空间上的另一个函数 Rf , 即 $f(p, \phi)$, 联系在一起。因为 $[Rf](p, \phi)$ 是沿着 L 的积分, 可以认为 (p, ϕ) 空间上的一个点相应于 (x, y) 空间中的一条直线 L (该直线离原点

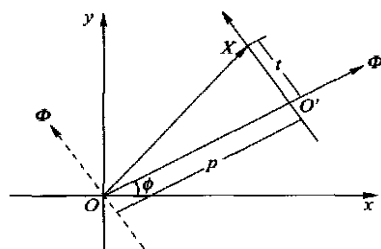


图 1 Radon 变换

Fig. 1 Radon transform

的距离为 p , 且和 x 轴正半轴的夹角为 ϕ 。

记 $X = (x, y)$, 或者 $\begin{cases} x = p \cos \phi - t \sin \phi \\ y = p \sin \phi + t \cos \phi \end{cases}$ 则有

$$f(p, \phi) = \int_{-\infty}^{+\infty} f(p \cos \phi - t \sin \phi, p \sin \phi + t \cos \phi) dt \quad (2)$$

设 $\begin{pmatrix} \cos \phi \\ \sin \phi \end{pmatrix} = \begin{pmatrix} -\sin \phi \\ \cos \phi \end{pmatrix}$ 则

$$f(p, \phi) = \int_{-\infty}^{+\infty} f(p + t) dt \quad (3)$$

将直线 L 的方程记为: $p - \cdot X = 0$, 则用广义函数将其改写为

$$f(p, \phi) = \iint_{R^2} f(X) (p - \cdot X) dx dy \quad (4)$$

Radon 定理 (逆变换公式)^[3]

设 $f(X)$ 为 R^2 上的连续函数, 当 $|X| > E > 0$ 时, $f(X) = 0$, 则

$$f(X) = \frac{-1}{2} \int_0^{+2\pi} \left[\frac{\partial}{\partial p} \left(\frac{f(p, \phi)}{p - X \cdot} \right) \right] d\phi \quad (5)$$

期中 E 是一个常数。(注意, 微分算子 ∂_p 是对 Radon 变换 $f(p, \cdot)$ 的第一个变量做微分运算的。) 这个逆变换公式是卷积反投影算法的核心, 即由已知的 $f(p, \cdot)$ (投影数据) 来重建 $f(X)$ 。

收稿日期: 2004-03-10

基金项目: 河北省博士基金 (2002131)

第一作者: 男, 1976 生, 硕士, 助教

E-mail: wang760706@sohu.com

2 多圆图像的 Radon 变换

圆心为 (x_0, y_0) , 半径为 r 的圆盘的方程为

$$f(x, y) = \begin{cases} 1, & (x - x_0)^2 + (y - y_0)^2 \leq r^2 \\ 0, & \text{其他} \end{cases} \quad (6)$$

$f(x, y)$ 沿着法方向为 $\phi = \phi_0$ ($\phi_0 = (\cos \phi_0, \sin \phi_0)$)、与原点的距离为 t 的一族直线作 Radon 变换, 构成一个关于 t 的一元函数

$$g(t) = 2 \sqrt{r^2 - (t - X_0 \cdot \phi_0)^2} \quad (7)$$

它相当于在 $f(x, y)$ 的 Radon 变换 $[Rf](p, \phi)$ 中令 $\phi = \phi_0$, 令 p 为 t 而得到的函数。此函数相当于长半轴为短半轴 2 倍的椭圆上半部^[4]。即

$$\frac{g(t)^2}{4^2} + \frac{(t - X_0 \cdot \phi_0)^2}{r^2} = 1 \quad g(t) \geq 0$$

给定由一些圆(各圆互不相交)组成的图像, 如图 2a 所示。对其作某个角度 ϕ_0 的 Radon 变换后得到的图像如图 2b, 它是由一些半椭圆线叠加而成。

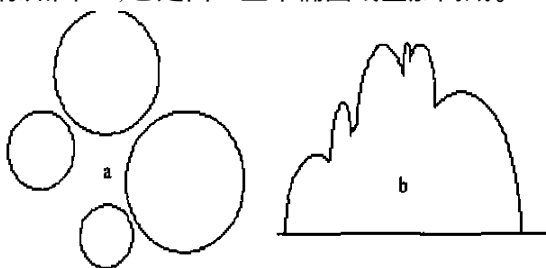


图 2 多圆图像及其 Radon 变换

Fig. 2 Multi-circle image and its Radon transform

3 半椭圆线与多圆图像 Radon 变换

定义一个半椭圆线族 $E^a = \left\{ e(t) \geq 0 \mid \frac{e(t)^2}{4r^2} + \frac{(t - (a+r))^2}{r^2} = 1, r \in (0, R) \right\}$

其中 R 为待重建的多圆图像沿某个角度做 Radon 变换后的信号长度。显然, 这个半椭圆族中的每个半椭圆线的最左端点都是 $(a, 0)$ 。重建图像时, 得到的是各个角度的投影数据值, 即类似上面图 2b 所示的一维曲线, 当然这些曲线都是由一系列的半椭圆线构成的, 如果能确定叠加成这条曲线的那些半椭圆线, 则相当于在某个角度上确定了这些圆的位置。如果, 在两个角度上确定了这些圆的位置, 则在二维重建区域中的这些圆的位置就能确定了^[5]。

假设待重建的多圆图像位于圆心为 $\left(\frac{R}{2}, \frac{R}{2}\right)$, 半径为 $\frac{R}{2}$ 的区域内, 称其为待重建区域。取某个角

度 ϕ_1 的投影数据, 记为: $P^1_{\phi_1}(t)$, 显然定义域为 $(0, R)$ 。设 $P^1_{\phi_1}(t)$ 的支集为 (a_1, b_1) , 则有 $(a_1, b_1) \subset (0, R)$ 。取 E^{a_1} 的一个子集 \tilde{E}^{a_1} 定义如下

$$\tilde{E}^{a_1} = \{ e(t) \mid e(t) \leq P^1_{\phi_1}(t), \forall t \in (a_1, b_1) \}$$

令 $e(t) = \max\{e(t) \in \tilde{E}^{a_1}, t \in (a_1, b_1)\}$ 则有定理 1 必有某一个 $e_0 \in \tilde{E}^{a_1}$ 使得 $\max_{t \in (a_1, b_1)} e_0(t) =$

$e(t)$, 且此 e_0 即为此多圆图像从 ϕ_1 角度上看最靠左边的那个圆做 Radon 变换得到的半椭圆线。

证明: 由 \tilde{E}^{a_1} 的定义可知, $\forall e(t) \in \tilde{E}^{a_1}$, 其图像都位于 $P^1_{\phi_1}(t)$ 之下。即 $\forall e(t) \in \tilde{E}^{a_1}$ 有 $\max_{t \in (a_1, b_1)} e(t) \leq e(t)$, 又由于, 从 ϕ_1 角度上看最靠左边的那个圆做 Radon 变换得到的半椭圆线 $\tilde{e}_0(t)$ 显然是以 a_1 为最左端点的, 而且, 它即是构成 $P^1_{\phi_1}(t)$ 的一部分, 而 $P^1_{\phi_1}(t)$ 又是由一些半椭圆线叠加而成, 故必有 $\tilde{e}_0(t) \in \tilde{E}^{a_1}$, 且它是与 $P^1_{\phi_1}(t)$ 最紧密的半椭圆线, 则有 $\tilde{e}_0(t) = e(t)$ 。证毕。

将满足定理 1 的 $e_0(t)$ 称为: 与角度 ϕ_1 相关的第一条最佳半椭圆线。

将找到的第一条半椭圆线 $e_0^1(t)$ 从 $P^2_{\phi_1}(t)$ 中减掉, 得到新的投影数据 $P^2_{\phi_1}(t)$, 设 $P^2_{\phi_1}(t)$ 的支集为 (a_2, b_2) , 显然 $(a_2, b_2) \subset (a_1, b_1)$ 。而 $e_0^1(t)$ 的支集中点坐标 $\left(X^1_{\phi_1}, Y^1_{\phi_1}\right)$ 即为前面确定圆的圆心坐标在角度 ϕ_1 上的投影。设 $e_0^1(t)$ 的支集长度为 r_1 , 则 r_1 即为该圆的直径, 用 $C\left(X^1_{\phi_1}, Y^1_{\phi_1}; r^1_{\phi_1}\right)$ 记录这三个信息。

对新的投影数据 $P^2_{\phi_1}(t)$, 与其对应的半椭圆线族为

$$E^{a_2} = \left\{ e(t) \geq 0 \mid \frac{e(t)^2}{4r^2} + \frac{(t - (a_2+r))^2}{r^2} = 1, r \in (0, R) \right\}$$

同样取一个 E^{a_2} 的一个子集 \tilde{E}^{a_2}

$$\tilde{E}^{a_2} = \{ e(t) \mid e(t) \leq P^2_{\phi_1}(t), \forall t \in (a_2, b_2) \}$$

令 $e(t) = \max\{e(t) \in \tilde{E}^{a_2}, t \in (a_2, b_2)\}$, 继续用定理 1, 即可以找到去掉第一个圆后, 剩下的圆中最靠近左边的那个圆, 并确定其圆心坐标在角度 ϕ_1 上的投影值及其直径的长度, 将这三个信息记为: $C\left(X^2_{\phi_1}, Y^2_{\phi_1}; r^2_{\phi_1}\right)$, 然后再从 $P^2_{\phi_1}(t)$ 中减去确定 $C\left(X^2_{\phi_1}, Y^2_{\phi_1}; r^2_{\phi_1}\right)$ 的那个最佳半椭圆线 $e_0^2(t)$, 得到

新的投影数据 $P^3_1(t)$ 。按上面的过程依次进行下去,便可以得到所有圆的圆心坐标在角度 θ_1 上的投影值及直径长度 $C(X^i_1, Y^i_1, r^i_1), i=1 \dots n$ 。

图3所示为找前两个圆的过程,由a到b是找

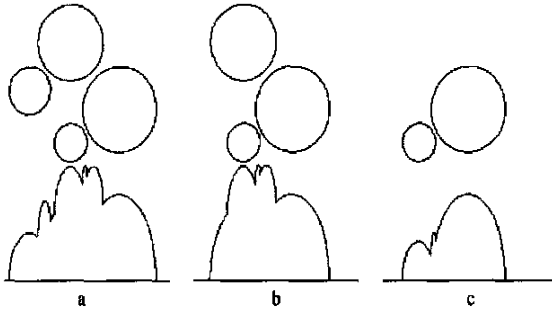


图3 分离最左边的两个圆的步骤

Fig. 3 Process of separating the two circles from left

第一个圆的过程,b到c为找第二圆的过程。对于这个例子来讲进行三次就可以得到四个圆的圆心坐标在角度 θ_1 上的投影值及直径长度 $C(X^i_1, Y^i_1, r^i_1), i=1, 2, 3, 4$ 。换一个角度 θ_2 ,用类似的方法求出这四个圆的圆心坐标在角度 θ_2 上的投影值及直径长度 $C(X^i_2, Y^i_2, r^i_2), i=1, 2, 3, 4$ 。再将 $C(X^i_1, Y^i_1, r^i_1)$ 与 $C(X^i_2, Y^i_2, r^i_2)$ 按照半径相等(即第三个量)的原则匹配起来。例如,若有 r^3_1 与 r^1_2 相等,如图4a所示。则 (X^3_1, Y^3_1) 与 (X^1_2, Y^1_2) 即为同一个圆的圆心坐标分别在 θ_1 和

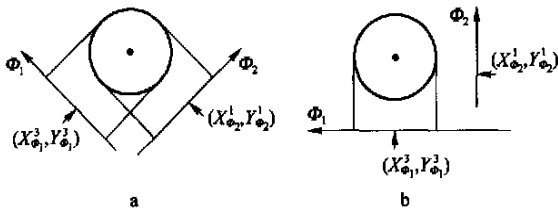


图4 用匹配法确定圆心

Fig. 4 Get the center of circle by matching method

θ_2 角度上的投影坐标,则由 (X^3_1, Y^3_1) 与 (X^1_2, Y^1_2) 便可以求出相应的圆的圆心坐标,由于其半径已经知道,为 r^3_1 (或 r^1_2),那么相当于这个圆就可以确定下来了。在实际算法实现时为了简单,可以将角度 θ_1, θ_2 分别选为 0° 和 90° ,如图4b所示。则此时, $Y^i_1, X^i_2, i=1, 2 \dots n$ 均为0,则 X^i_1, Y^i_2 分别是各圆的横坐标和纵坐标。只需按上面的直径相等的匹配思想将其对应的匹配起来,便得到

了各圆的圆心坐标,再加上已知的直径信息,就可以将这个多圆图像画出来了。

以上给出的是理想情形,但是,在实际应用中投影数据难免会有误差,对此重新将 \tilde{E}^{a_1} 定义为

$$\tilde{E}^{a_1} = \{e(t) | e(t) \in E^{a_1}, \text{ 且 } |e(t) - P^1_1(t)| \leq \epsilon, \forall t \in (a_1, b_1)\}$$

其中 ϵ 为 2 -范数, ϵ 为允许误差最大值。当将第一条半椭圆线 $e_0(t)$ 从 $P^2_2(t)$ 中减掉时,由于误差,新得到的投影数据 $P^2_1(t)$ 的第一个非零值未必应该包含在 $P^2_1(t)$ 的支集中,即需要去除一些位于前面的残差信号。对 $P^2_1(t)$ 中的信号点(在实际应用中 $P^2_1(t)$ 显然是离散信号)若其后连续 N_1 个点具有递增性质,称其为 N_1 连续递增点,选取 $P^2_1(t)$ 的 N_1 连续递增点中最小的做为信号 $P^2_1(t)$ 的起始点 t_1 。相应的定理1需修改为

定理1 必有某一个 $e_0 \in \tilde{E}^{a_1}$ 使得 $e_0 = e(t)$, 且此 e_0 即为此多圆图像从 θ_1 角度上看最靠左边的那个圆做 Radon 变换得到的半椭圆线。

然后按两个角度 θ_1, θ_2 利用定理1将最佳椭圆线一条一条的从 $P^1_1(t)$ 中剥离,同时也将依次找到最左边的圆的坐标及直径信息,最后将其匹配起来,便得到该多圆图像。

4 实例图像结果分析与结论

本文构造了一个含有五个半径不同的圆的多圆图像如图5a所示。用数值积分的办法模拟投影数

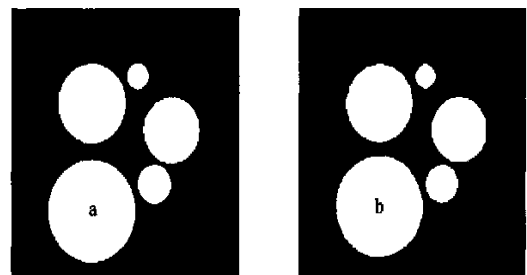


图5 多圆位图图像及重建结果

Fig. 5 Bitmap image of multi-circle and its reconstructed result

据,共“采集”了360个角度(将 $(0, \pi)$ 分成360份),每个角度“采集”500个“数据”,每个数据用矩形公式算数值积分(采用1000个分划)。重建图像由图5b所示,各圆的大小及位置关系本上是与原图无异的,只是在位置上有2~3个像素的偏差,圆的半径

大小上有 1~2 个像素的偏差,证明用最佳椭圆线法重建多圆图像是可行的。

参 考 文 献

- [1] Wang S, liu B, Kulkarni S R. Model-based reconstruction of multiple circular and elliptical objects from a Limited Number of Projection[J]. IEEE Trans on Image Processing, 2000, 5(9):1386 - 1392
- [2] Barrett H H, Swindell W. Radiological imaging: The theory of imaging formation detection and processing [M]. New York: Academic Press, 1981
- [3] Herman G T. Image reconstruction from projection: the fundamentals of computerized tomography [M]. New York: Academic Press, 1980
- [4] 王一多. 快速滤波反投影算法研究[D]. [硕士学位论文]. 吉林: 吉林大学, 2002
- [5] 温俊海, 卜凡亮, 程敬之. 有限角投影下的快速重建算法[J]. 西安交通大学学报, 2001, 34(4): 33-36

Reconstruction of a multi-circles image by optimal-ellipse-curves

Wang Yi-duo Zhang Yan

(1. College of Science, Beijing University of Chemical Technology, Beijing 100029, China;

2. College of Science, Yan Shan University, Hebei Qinhuangdao 066004, China)

Abstract: By analysing the Radon-transform of multi-circles image, a new algorithm called optimal-ellipse-curve for reconstructing multi-circles image was proposed. Theoretically, the new algorithm only needs two angle's projection data. In addition, an example of multi-circles image with five different circles and the reconstructed result have proved the validity of the new algorithm.

Key words: Radon-transform; multi-circles image; optimal-ellipse-curve

(责任编辑 曾宪玉)

(上接第 90 页)

- [3] 杨勋年. 基于几何逼近的曲线曲面造型技术研究[D]. [博士学位论文]. 杭州: 浙江大学, 1998
- [4] Hoppe H, DeRose T, Duchamp T, *et al.* Piecewise smooth surface reconstruction[C]. Proceedings of SIGGRAPH '94, ACM-SIGGRAPH. Orlando Florida: Lynn Finch, 1994, 295 - 302
- [5] Peter Cominos. An interpolating piecewise bicubic surface with shape parameters[J]. Computers & Graphics, 2001, 25: 463 - 481
- [6] 施法中. 计算机辅助几何设计与非均匀有理样条[M]. 北京: 高等教育出版社, 2001, 143 - 162
- [7] 戈卢布·G·H, 范洛恩·C·F. 矩阵计算[M]. 北京: 科学出版社, 2001, 61 - 65

Shape reconstruction of twin-screw surfaces

Li Xiao-hua Liu Hui

(College of Science, Beijing University of Chemical Technology, Beijing 100029, China)

Abstract: Rotating of a cross-section curve is a typical method for constructing a twin-screw. A method for reconstructing a shape of twin-screw with a bicubic Bezier surface was proposed, which offers better theoretical foundations for CAM. Besides, a method was presented for abstracting and pre-processing of data points while modeling. The result of error analysis shows the method is suitable for reconstruction of the general screw surfaces.

Key words: cross-section curve; Bezier surface; reconstruction; screw surface

(责任编辑 曾宪玉)